

# ***Konstrukcija hibridnih orbital s projekcijskimi operatorji iz simetrijsko pogojenih linearnih kombinacij atomskih orbital***

Seminar pri predmetu *Simetrije* na podiplomskem študiju fizike

Mojca Miklavec

Mentor: doc. dr. Primož Ziherl

Ljubljana, 8. december 2010

# Kazalo

Kazalo .....	1
Povzetek .....	3
1 Atomske Orbitale .....	4
1.1 Oblika atomskih orbital .....	4
1.2 Simetrijske lastnosti atomskih orbital .....	6
2 Kovalentna kemijska vez .....	7
3 Hibridne orbitale .....	9
3.1 Hibridne orbitale z vezmi $\sigma$ .....	10
$sp$ - linearna hibridizacija .....	10
$sp^2$ - trikotna hibridizacija .....	10
$sp^3$ - tetraedrična hibridizacija .....	11
$sp^3d$ - trigonalno bipiramidalna hibridizacija .....	11
$sp^3d^2$ - oktaedrična hibridizacija .....	11
3.2 Matematična oblika hibridnih orbital .....	12
$sp$ - linearna hibridizacija .....	13
$sp^2$ - trikotna hibridizacija .....	14
Baza upodobitve .....	14
Tabela transformacij .....	14
Razcep na nerazcepne upodobitve .....	14
Določitev primernih orbital .....	15
Uporaba projekcijskega operatorja .....	16
Zveza med atomskimi orbitalami in dobljenimi projekcijami .....	17
Izračun koeficientov .....	18
Rezultat .....	19
$sp^3$ - tetraedrična hibridizacija .....	21
Baza upodobitve .....	21
Tabela transformacij .....	21
Razcep na nerazcepne upodobitve .....	23
Določitev primernih orbital .....	23
Uporaba projekcijskega operatorja .....	23
Zveza med atomskimi orbitalami in dobljenimi projekcijami .....	24
Izračun koeficientov .....	24
Rezultat .....	25
$sp^3d$ - trigonalno bipiramidalna hibridizacija .....	26
Baza upodobitve .....	26
Tabela transformacij .....	26
Razcep na nerazcepne upodobitve .....	27

Določitev primernih orbital	27
Uporaba projekcijskega operatorja	27
Zveza med atomskimi orbitalami in dobljenimi projekcijami	28
Rezultat	29
<b><i>sp<sup>3</sup>d<sup>2</sup></i></b> – oktaedrična hibridizacija	30
Baza upodobitve	30
Karakter transformacij	30
Razcep na nerazcepne upodobitve	31
Določitev primernih orbital	31
Uporaba projekcijskega operatorja	32
Zveza med atomskimi orbitalami in dobljenimi projekcijami	32
Rezultat	33
<b>3.3 Hibridne orbitale z vezmi <math>\pi</math></b>	34
Primer trikotne molekule	34
Baza upodobitve	34
Tabela transformacij	35
Razcep na nerazcepne upodobitve	35
Določitev primernih orbital	35
Primer oktaedrične molekule	36
Baza upodobitve	36
Razcep upodobitve	36
Določitev primernih orbital	37
Zaključek	38
Literatura	39
Priloge	40

# Povzetek

V seminarju si bomo ogledali, kako simetrija pomaga pri obravnavi kemijskih vezi, natančneje hibridnih orbital - matematičnega modela, ki pomaga razumeti strukturo molekul.

V prvem poglavju so predstavljene atomske orbitale, njihova oblika in simetrijske lastnosti, v drugem kovalentne vezi in nekaj splošnega o njihovi oblikah, v tretjem pa so obravnavane hibridne orbitale. Najprej se dotaknemo splošne oblike, navedemo primere petih najpogostejših hibridizacij z enojnimi vezmi in v jedru seminarja izpeljemo celoten postopek, s katerim izračunamo matematično obliko hibridnih orbital in jih tudi narišemo. Na grobo je orisan tudi postopek računa hibridnih orbital z vezmi  $\pi$  za dve različni geometriji molekul.

# 1. Atomske Orbitale

## 1.1. Oblika atomskih orbital

Atomske orbitale so lastne rešitve Schrödingerjeve enačbe, s katerimi opisujemo gibanje elektronov v atomu oziroma verjetnost, da se elektron nahaja v določenem delu prostora okrog atomskega jedra.

Za vodikov atom so lastne rešitve funkcije  $\psi_{nlm}$ , ki jih lahko v sferičnih koordinatah  $(r, \vartheta, \varphi)$  izrazimo kot produkt radialnega in kotnega dela:

$$\psi_{nlm}(r, \vartheta, \varphi) = R_{nl}(r)Y_{lm}(\vartheta, \varphi) \quad (1)$$

in jih je mogoče zapisati tudi analitično. Katero koli valovno funkcijo pa lahko zapišemo kot vsoto

$$\Psi = \sum_{n=1}^{\infty} \sum_{l=0}^{n-1} \sum_{m=-l}^l c_{nlm} \psi_{nlm}. \quad (2)$$

Glavno kvantno število  $n$  označuje lupino, stransko kvantno število  $l$  določa obliko orbitale, magnetno kvantno število  $m$  pa njeno orientacijo. Prvih nekaj orbital je naštetih v tabeli 1.

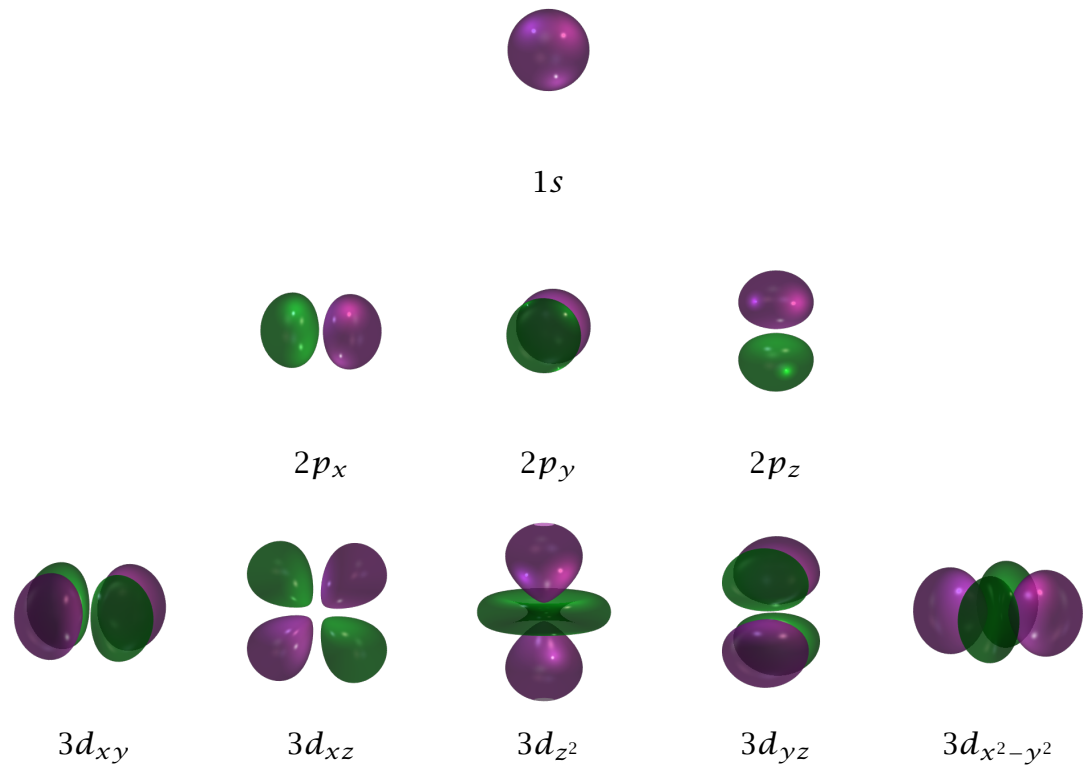
n	l	m				
		-2	-1	0	1	2
1	0			1s		
2	0			2s		
2	1		2p <sub>x</sub>	2p <sub>z</sub>	2p <sub>y</sub>	
3	0			3s		
3	1		3p <sub>x</sub>	3p <sub>z</sub>	3p <sub>y</sub>	
3	2	3d <sub>xy</sub>	3d <sub>xz</sub>	3d <sub>z<sup>2</sup></sub>	3d <sub>yz</sub>	3d <sub>x<sup>2</sup>-y<sup>2</sup></sub>

**Tabela 1** Kvantna števila in atomske orbitale.

Pri ostalih atomih valovnih funkcij ne moremo več zapisati analitično, vendar so zgornjim kvalitativno podobne. V nadaljevanju nas tudi ne bo zanimala radialna odvisnost, temveč le kotni del  $Y_{lm}(\vartheta, \varphi)$ , kot je prikazan na sliki 1 in izračunan v tabeli 2 (kjer smo zaradi jasnosti in nadaljnje obravnave funkcijo  $Y_{lm}$  zapisali v kartezičnih koordinatah) [1].

$l$	$m_l$	orb.	$Y_{lm}$
0	0	$s$	$\frac{1}{2}\sqrt{\frac{1}{\pi}}$
1	0	$p_z$	$\frac{1}{2}\sqrt{\frac{3}{\pi}}\frac{z}{r}$
	$\pm 1$	$p_x$	$\frac{1}{2}\sqrt{\frac{3}{\pi}}\frac{x}{r}$
2	0	$d_{z^2}$	$\frac{1}{4}\sqrt{\frac{5}{\pi}}\frac{3z^2-r^2}{r^2}$
		$d_{xz}$	$\frac{1}{2}\sqrt{\frac{15}{\pi}}\frac{xz}{r^2}$
2	$\pm 1$	$d_{yz}$	$\frac{1}{2}\sqrt{\frac{15}{\pi}}\frac{yz}{r^2}$
		$d_{xy}$	$\frac{1}{2}\sqrt{\frac{15}{\pi}}\frac{xy}{r^2}$
		$d_{x^2-y^2}$	$\frac{1}{4}\sqrt{\frac{15}{\pi}}\frac{x^2-y^2}{r^2}$

**Tabela 2** Kotni del valovnih funkcij, izražen s kartezičnimi koordinatami.



**Slika 1** Vodikove orbitale  $s$ ,  $p$  in  $d$ .

## 1.2. Simetrijske lastnosti atomskih orbital

Orbitale  $s$  so krogelno simetrične, zato jih katera koli simetrijska operacija iz točkovne grupe preslika same vase. Karakter poljubne simetrijske operacije je zato kar enak 1.

Orbitale  $p_x$ ,  $p_y$  in  $p_z$  se pri teh simetrijskih operacijah obnašajo enako kot funkcije  $x$ ,  $y$  in  $z$ , kar je razvidno že iz tabele 2. Rotaciji  $C_2(z)$  in  $C_2(y)$ , inverzija ali zrcaljenje  $\sigma_{yz}$  bodo na primer orbitalo  $p_x$  preslikali v  $-p_x$  (čemur pripisemo karakter  $-1$ ), rotacija  $C_2(x)$ , zrcaljenji  $\sigma_{xy}$  ali  $\sigma_{xz}$  pa jo pustili nedotaknjeni (karakter 1). Rotacija  $C_n(z)$  za  $n > 2$  orbitalo  $p_x$  preslika v linearno kombinacijo  $p_x$  in  $p_y$ , kar povzroči degeneracijo in čemur pripisemo karakter  $\cos(2\pi/n)$ .

Podobno velja za orbitale  $d$ , ki se transformirajo po isti upodobitvi kot funkcije v indeksu in so za razliko od orbital  $p$  invariante na inverzijo skozi izhodišče koordinatnega sistema. Orbitala  $d_{xy}$  (glej sliko 1) se transformira enako kot funkcija  $xy$ : pri inverziji, rotacijah  $C_2(x)$ ,  $C_2(y)$ ,  $C_2(z)$  in zrcaljenjih  $\sigma_{xy}$ ,  $\sigma_{yz}$ ,  $\sigma_{zx}$  se ne spremeni (karakter 1). Pri rotaciji  $C_4(z)$  ali zrcaljenju preko ravnine  $x = \pm y$  pa spremeni predznak (karakter  $-1$ ).

Karakter simetrijskih operacij pri delovanju na posamezno orbitalo navadno lahko preberemo iz tabel karakterjev, ki jih najdemo v skoraj vsakem učbeniku o simetrijah. V zadnjih – običajno dveh – stolpcih lahko preberemo, kateri homogeni polinomi stopnje  $n$  (navadno za  $n = 1$  in  $2$ ) ustrezajo posamezni upodobitvi. Primer je v tabeli 4. Orbitala  $s$  vedno ustreza prvi nerazcepni upodobitvi, orbitala  $p$  najdemo v predzadnji vrstici in ustrezajo polinomom prve stopnje, orbitala  $d$  pa v zadnji in ustrezajo polinomom druge stopnje. Včasih so navedeni tudi polinomi tretje stopnje, ki ustrezajo orbitalam  $f$ . Nekatere funkcije, kot npr.  $x^2 + y^2$  ali  $x^2 + y^2 + z^2$  se sicer transformirajo po dani nerazcepni upodobitvi, a ne ustrezajo nobeni orbitali.

Na spletni strani <http://symmetry.jacobs-university.de/> najdemo tabele karakterjev skupaj s polinomi tretje stopnje.

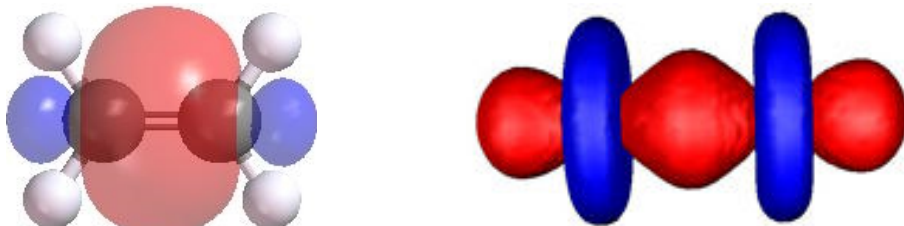
## 2. Kovalentna kemijska vez

Če si pobliže ogledamo sosednja atoma v neki molekuli s kovalentnimi vezmi, opazimo, da je za elektrone energijsko najugodnejše, če se nahajajo na sredini med obema jedroma, saj je ob tem elektrostični privlak med elektronom in jedroma največji, pozitivno nabiti jedri pa zaradi senčenja elektronov čutita manjši odboj.

Verjetnostno gostoto elektronov v molekuli sicer v splošnem opišemo z dokaj kompleksno valovno funkcijo, vendar si je takrat, ko ne potrebujemo numeričnih rezultatov, nadvse priročno molekule predstavljati kot skupek atomov, povezanih s kemijsko vezjo, kjer kemijska vez pomeni zgolj povečano elektronsko gostoto med sosednjima atomoma.

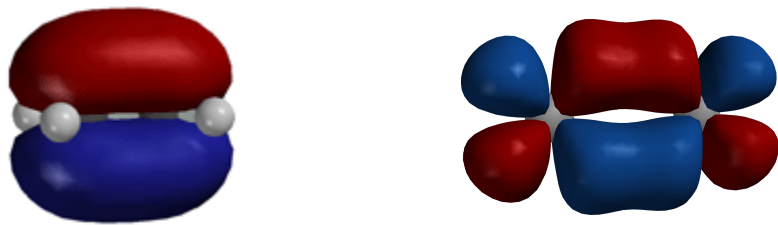
V najbolj poenostavljeni obliki govorimo o enojnih, dvojnih in trojnih vezeh med atomi v molekulah, pri čemer enojni vezi pravimo tudi vez  $\sigma$ , dvojna (ozioroma trojna) vez pa je sestavljena iz ene vezi  $\sigma$  in ene (ozioroma dveh) vezi  $\pi$ . Pri tvorbi vezi navadno sodelujeta dva elektrona z nasprotnima spinoma [2].

Imena za vezi  $\sigma$ ,  $\pi$ ,  $\delta$ ,  $\varphi$  in  $\gamma$  izhajajo iz poimenovanja atomskih orbital  $s$ ,  $p$ ,  $d$ ,  $f$  in  $g$ . Najmočnejše so vezi  $\sigma$ , ki so simetrične glede na rotacijo okrog osi med atomoma. Valovna funkcija, s katero jih opišemo, je brez vozelnih ravnin (ang. *nodal plane*). Nastanejo z neposrednim prekrivanjem orbital sosednjih atomov, ki morajo biti prav tako simetrične glede na omenjeno os vrtenja (npr. med orbitalama  $s - s$ ,  $s - p_z$ ,  $p_z - p_z$ ,  $p_z - d_{z^2}$ , ...).



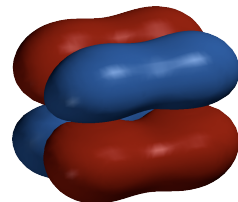
**Slika 2** Vez  $\sigma$  med ogljikoma v molekuli etena (levo), ki je nastala iz prekrivanja orbital  $p_z - p_z$  in je simetrična na rotacijo okrog vezi. Vez  $\sigma$  na desni je nastala iz prekrivanja orbital  $d_{z^2} - d_{z^2}$ . Vir: [7] in [8].

Vezi  $\pi$  imajo eno vozelno ravno in posledično niso več simetrične na rotacijo. Nastanejo s posrednim prekrivanjem vzporednih orbital sosednjih atomov (npr. med orbitalama  $p_x - p_x$ ,  $p_y - p_y$ , ...). Med sosednjima atomoma lahko nastaneta največ dve vezi  $\pi$  z medsebojno pravokotnima vozelnima ravninama.

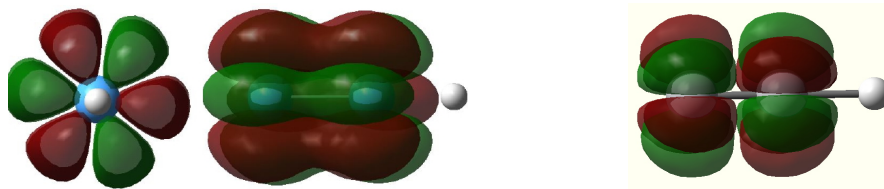


**Slika 3** Vez  $\pi$ , sestavljena iz dveh orbital  $p$  (levo) in dveh orbital  $d$  (desno). Vir: [9] in [10].

Vezi  $\delta$  ( $\varphi, \gamma$ ) imajo dve (štiri, osem) vozelnih ravnin, ustrezajo prekrivanju atomskih orbital  $d$  ( $f, g$ ) in so še šibkejše od vezi  $\pi$ . Najdemo jih predvsem pri koordinacijskih spojinah in jih ne bomo posebej obravnavali.



**Slika 4** Vez  $\delta$  v molekuli  $\text{MO}_2$ . Vir: [11].



**Slika 5** Vezna in nevezna molekulska orbitala  $\varphi$ . Vir: [12].

### 3. Hibridne orbitale

V najbolj splošnem primeru za opis molekul uporabljam molekulske orbitale, v zelo grobem približku pa molekule opišemo s kovalentimi kemijskimi vezmi in uporabimo teorijo valenčne vezi.

Teorija valenčne vezi pravi, da atomi stremijo po tem, da bi imeli zapolnjeno zunanjjo lupino. Npr. vodik z enim zunanjim elektronom potrebuje en dodaten elektron, kisik s šestimi pa dva do zapolnjene lupine. Kisik v molekuli vode si tako z vsakim vodikom »deli« po en elektron v skupnem elektronskem paru. Žal pa ta teorija ne zna razložiti niti obstoja molekule  $BH_3$  niti  $SF_6$ . V prvem primeru bi imel bor zgolj šest elektronov, žveplo v drugem pa dvanajst. Prav tako teorija ne ve povedati mnogo o sami geometriji molekule.

Po drugi strani lahko kemijsko vez opišemo kot prekrivanje atomskih orbital sosednjih atomov. Vendar je tudi ta opis zelo omejen. Za opis vode bi lahko npr. predpostavili, da se orbitali s obeh vodikovih atomov prekrivata z orbitalama  $p_x$  in  $p_y$  kisikovega atoma. Vendar v tem primeru dobimo kot med obema vezema enak  $90^\circ$ , kar ne ustreza dejanski vrednosti  $104,5^\circ$ . Molekule metana s štirimi atomi vodika okrog ogljika ne moremo opisati, saj nimamo na voljo dovolj ogljikovih orbital [3].

Zato so v kemiji vpeljali koncept *hibridnih orbital*, pri katerem s kombiniranjem zunanjih atomskih orbital centralnega atoma v molekuli  $AB_n$  dobimo  $n$  enakovrednih hibridnih orbital, ki kažejo v smereh sosednjih atomov in se prekrivajo z atomskimi (lahko tudi s hibridnimi) orbitalami sosednjih atomov [4].

Hibridne orbitale  $\phi_i$  sestavljam iz linearnih kombinacij posameznih atomskih orbital  $\psi_p$  centralnega atoma:

$$\phi_i = \sum_p c_{pi} \psi_p, \quad (3)$$

pri čemer si bomo v poglavju 3.2 ogledali, kako zgolj s pomočjo upoštevanja simetrije določimo koeficiente  $c_{pi}$ . (Indeks  $p$  teče po atomskih orbitalah  $1s, 2s, 2p_x, \dots$ )

Hibridne orbitale torej stanje v molekuli opišejo natančneje od atomskih orbital in manj natančno od molekulskeih orbital. Sama hibridizacija ni realen fizikalni proces, temveč zgolj model, ki pomaga razložiti strukturo molekule, ko enostavnejši model odpove.

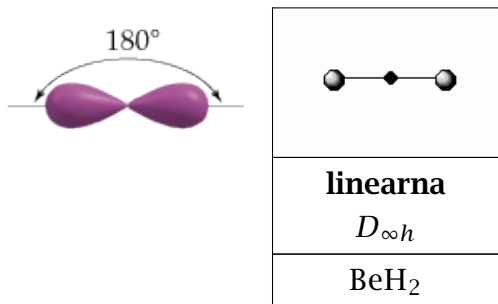
### 3.1. Hibridne orbitale z vezmi $\sigma$

Najpogosteje srečamo pet tipov hibridizacij, ki so prikazani na spodnjih skicah: linearno ( $sp$ ), trikotno ( $sp^2$ ), tetraedrično ( $sp^3$ ), trigonalno bipiramidalno ( $sp^3d$ ) in oktaedrično ( $sp^3d^2$ ).

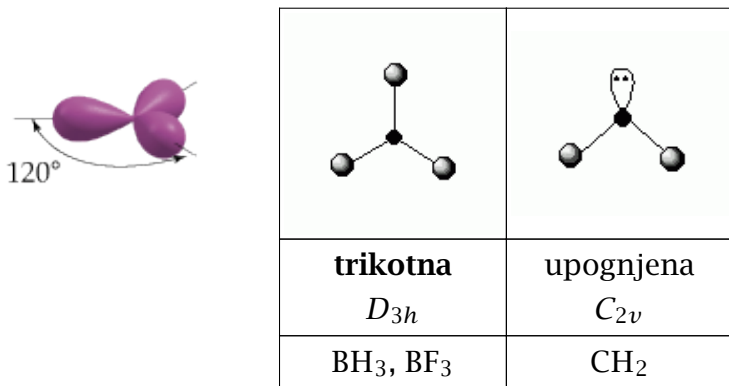
Pri  $n$  hibridnih orbitalah imamo v vsaki od  $n$  smeri bodisi kemijsko vez, na katero je »pripet« sosednji atom, bodisi nevezni elektronski par. Nevezni elektronski pari zavzamejo več prostora in nekoliko popačijo geometrijo molekule ter ji znižajo simetrijo, vendar teh primerov ne bomo posebej obravnavali.

Na spodnjih slikah so predstavljene hibridizacije, postavitev atomov oziroma prostih elektronskih parov, oblika molekule z besedo, simetrijska grupa in primer take molekule.

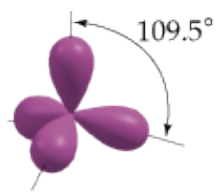
#### $sp$ – linearna hibridizacija



#### $sp^2$ – trikotna hibridizacija

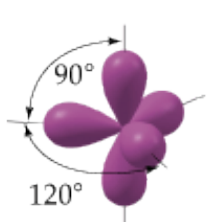


### $sp^3$ – tetraedrična hibridizacija



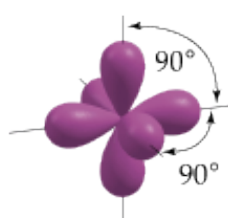
<b>tetraedrična</b> $T_d$	trikotno piramidalna $C_{3v}$	upognjena $C_{2v}$
$\text{CH}_4$	$\text{NH}_3$	$\text{H}_2\text{O}$

### $sp^3d$ – trigonalno bipiramidalna hibridizacija



<b>trikotno bipiramidalna</b> $D_{3h}$	gugalnica/ metulj $C_{2v}$	v obliki črke T $C_{2v}$	linearna $D_{3h}$
$\text{PF}_5$	$\text{SF}_4$	$\text{BrF}_3$	$\text{XeF}_2$

### $sp^3d^2$ – oktaedrična hibridizacija



<b>oktaedrična</b> $O_h$	kvadratno piramidalna $C_{4v}$	kvadratno planarna $D_{4h}$
$\text{SF}_6$	$\text{ClF}_5$	$\text{XeF}_4$

## 3.2. Matematična oblika hibridnih orbital

Za določitev koeficientov v enačbi (3) pri mešanju atomskih orbital so potrebni sledeči koraki [5]:

1. Določimo točkovno skupino molekule.
2. Določimo bazo upodobitve: vektor  $\phi_i$  v smeri vsake kemijske vezi (oz. hibridne orbitale)  $\sigma$ ,
3. Za vsak bazni vektor  $\phi_i$  in vse operacije  $G_a$  določimo, kam simetrijska operacija  $T(G_a)$  preslika vektor.
4. Izračunamo karakterje  $\chi(G_a)$  za operacije  $G_a$  v tej upodobitvi.
5. Upodobitev razcepimo na nerazcepne upodobitve  $T^{(\alpha)}$ :

$$\Gamma^{\text{hib}} = \sum_{\alpha}^{\oplus} m_{\alpha} \Gamma^{(\alpha)}, \quad m_{\alpha} = \frac{1}{g} \sum_p c_p \chi_p^{(\alpha)*} \chi_p^{\text{hib}}. \quad (4)$$

6. Za vsako dobljeno nerazcepno upodobitev  $T^{(\alpha)}$ :
  - a. Iz tabele karakterjev preberemo, katere orbitale ustrezano tej upodobitvi.
  - b. Glede na elektronsko konfiguracijo centralnega atoma določimo, katere od simetrijsko ustreznih orbital imajo smisel.
  - c. Uporabimo projekcijski operator  $P^{(\alpha)}$  na enim, dveh ali treh vektorjih  $\phi_i$  (glede na to, ali je upodobitev  $T^{(\alpha)}$  eno-, dvo- ali tridimenzionalna):

$$P^{(\alpha)} \phi_i = \frac{s_{\alpha}}{g} \sum_{a \in G} \chi_a^{(\alpha)} T(G_a) \phi_i, \quad (5)$$

kjer je  $P^{(\alpha)}$  projekcijski operator v upodobitvi  $T^{(\alpha)}$ ,  $s_{\alpha}$  dimenzija upodobitve,  $g$  število elementov grupe in  $\chi_a^{(\alpha)}$  karakter operacije  $G_a$  v tej upodobitvi.

- č. Normaliziramo dobljene vektorje (zato bomo v vseh nadaljnjih računih izpuščali predfaktor  $s_{\alpha}/g$ ).
- d. Izračunamo, kako se posamezne atomske orbitale izražajo s hibridnimi.
- e. Iz inverzne oziroma transponirane matrike preberemo, kako se hibridne orbitale izražajo z atomskimi orbitalami.

## ***sp* – linearna hibridizacija**

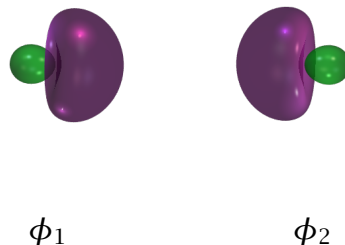
Linearna molekula pripada točkovni skupini  $D_{\infty h}$ . Za bazo vzamemo vektorje iz enačbe (9).

$$\begin{array}{ccc} \longrightarrow z & & \phi_1 = (0, 0, 1), \\ \phi_2 \leftarrow \bullet \rightarrow \phi_1 & & \phi_2 = (0, 0, -1). \end{array} \quad (9)$$

V tem primeru bomo rezultat, ki je dovolj enostaven, zgolj zapisali:

$$\begin{aligned} \phi_1 &= \frac{1}{\sqrt{2}}(s + p_z), \\ \phi_2 &= \frac{1}{\sqrt{2}}(s - p_z). \end{aligned} \quad (10)$$

Podroben postopek, kako do rezultata pridemo, si bomo ogledali pri ostalih hibridizacijah.



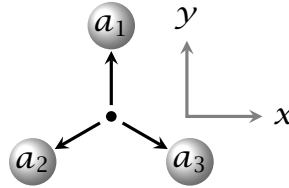
**Slika 6** Hibridni orbitali berilija v molekuli  $\text{BeH}_2$  iz orbital  $2s$  in  $2p$ .

V molekuli  $\text{BeH}_2$  se vodikovi orbitali  $s$  prekrivata z enako predznačenim (pozitivnim oz. vijoličnim) delom hibridne orbitale berilijevega atoma.

## $sp^2$ - trikotna hibridizacija

### ■ Baza upodobitve

Trikotna molekula pripada točkovni skupini  $D_{3h}$ . Za bazo vzamemo naslednje vektorje:



$$\phi_1 = (0, 1, 0), \quad (14)$$

$$\phi_2 = \left( -\frac{\sqrt{3}}{2}, -\frac{1}{2}, 0 \right) \text{ in}$$

$$\phi_3 = \left( \frac{\sqrt{3}}{2}, -\frac{1}{2}, 0 \right).$$

### ■ Tabela transformacij

Simetrijske operacije vektorje  $\phi_i$  preslikajo tako, kot vidimo v tabeli 3. Karakter je enak številu vektorjev, ki se pri transformaciji ne spremenijo.

	$E$	$2C_3$	$3C_2$	$\sigma_h$	$2S_3$	$3\sigma_v$
$\phi_1$	$\phi_1$	$\phi_2 \quad \phi_3$	$\phi_1 \quad \phi_3 \quad \phi_2$	$\phi_1$	$\phi_2 \quad \phi_3$	$\phi_1 \quad \phi_3 \quad \phi_2$
$\phi_2$	$\phi_2$	$\phi_3 \quad \phi_1$	$\phi_3 \quad \phi_2 \quad \phi_1$	$\phi_2$	$\phi_3 \quad \phi_1$	$\phi_3 \quad \phi_2 \quad \phi_1$
$\phi_3$	$\phi_3$	$\phi_1 \quad \phi_2$	$\phi_2 \quad \phi_1 \quad \phi_3$	$\phi_3$	$\phi_1 \quad \phi_2$	$\phi_2 \quad \phi_1 \quad \phi_3$
$\chi^{\text{hib}}$	3	0	1	3	0	1

**Tabela 3** V tabeli so uporabljene simetrijske operacije ( $E$ )  
 $(C_3, C_3^2)$  ( $C'_2, C''_2, C'''_2$ ) ( $\sigma_v$ ) ( $S_3, S_3^2$ ) ( $\sigma'_v, \sigma''_v, \sigma'''_v$ ), kjer  $C_3$  in  $S_3$   
 rotirata za  $120^\circ$  v obratni smeri urinega kazalca,  $C_2^{(i)}$  vrtijo  
 okrog  $\phi_i$ ,  $\sigma_v^{(i)}$  pa slikajo čez vertikalno ravnino, ki gre skozi  $\phi_i$ .

### ■ Razcep na nerazcepne upodobitve

Pri razcepu si bomo pomagali s tabelo karakterjev za grupo  $D_{3h}$  (tabela 4).

Za razcep uporabimo enačbi

$D_{3h}$	$E$	$2C_3$	$3C_2$	$\sigma_h$	$2S_3$	$3\sigma_v$		
$A'_1$	1	1	1	1	1	1		$x^2 + y^2, z^2$
$A'_2$	1	1	-1	1	1	-1	$R_z$	
$E'$	2	-1	0	2	-1	0	$(x, y)$	$(x^2 - y^2, xy)$
$A''_1$	1	1	1	-1	-1	-1		
$A''_2$	1	1	-1	-1	-1	1	$z$	
$E''$	2	-1	0	-2	1	0	$(R_x, R_y)$	$(xz, yz)$

**Tabela 4** Tabela karakterjev za  $D_{3h}$ . Vir: [6].

$$\Gamma^{\text{hib}} = \sum_{\alpha}^{\oplus} m_{\alpha} T^{(\alpha)}, \quad (15)$$

$$m_{\alpha} = \frac{1}{g} \sum_p c_p \chi_p^{(\alpha)*} \chi_p^{\text{hib}},$$

kjer je  $\alpha$  indeks nerazcepne upodobitve  $\Gamma^{(\alpha)}$  (za  $D_{3h}$  je  $\alpha \in \{A'_1, A'_2, \dots, E''\}$ ),  $p$  indeks razreda simetrijskih operacij,  $c_p$  število elementov v njem,  $g$  število vseh elementov  $g = \sum_p c_p$  in  $\chi_p$  oz.  $\chi_p^{(\alpha)}$  karakter operacije iz razreda  $p$  v upodobitvi  $\Gamma^{\text{hib}}$  oz.  $\Gamma^{(\alpha)}$ . Tako izračunamo:

$$\begin{aligned} m_{A'_1} &= \frac{1}{12}(1(1)(3) + 2(-1)(0) + 3(-1)(1) + 1(-1)(3) + 2(-1)(0) + 3(-1)(1)) = 1, \\ m_{A'_2} &= \frac{1}{12}(1(1)(3) + 2(-1)(0) - 3(-1)(1) + 1(-1)(3) + 2(-1)(0) + 3(-1)(1)) = 0, \\ m_{E'} &= \frac{1}{12}(1(2)(3) + 2(-1)(0) + 3(-0)(1) + 1(-2)(3) + 2(-1)(0) + 3(-0)(1)) = 1, \\ m_{A''_1} &= \frac{1}{12}(1(1)(3) + 2(-1)(0) + 3(-1)(1) + 1(-1)(3) + 2(-1)(0) + 3(-1)(1)) = 0, \\ m_{A''_2} &= \frac{1}{12}(1(1)(3) + 2(-1)(0) - 3(-1)(1) + 1(-1)(3) + 2(-1)(0) + 3(-1)(1)) = 0, \\ m_{E''} &= \frac{1}{12}(1(2)(3) + 2(-1)(0) + 3(-0)(1) + 1(-2)(3) + 2(-1)(0) + 3(-0)(1)) = 0. \end{aligned} \quad (16)$$

Od tod sledi, da je

$$\Gamma^{\text{hib}} = \Gamma^{A'_1} \oplus \Gamma^{E'}. \quad (17)$$

## ■ Določitev primernih orbital

Iz zadnjih dveh stolpcov tabele karakterjev za  $D_{3h}$  (tabela 4) preberemo, katere atomske orbitale so primerne za tvorbo hibridnih orbital:

upodobitev	$\Gamma^{A'_1}$	$\Gamma^{E'}$
orbitale $s$	$s$	
$p$		$(p_x, p_y)$
$d$	$d_{z^2}$	$(d_{x^2-y^2}, d_{xy})$

**Tabela 5** Atomske orbitale, primerne za tvorbo hibridnih orbital v trikotnih molekulah.

Dve orbitali med oklepaji pomenita, da orbitali skupaj tvorita dvodimenzionalno nerazcepno upodobitev. Od tod bi lahko sklepali na katero koli izmed naslednjih kombinacij orbital:  $sp^2$ ,  $sd^2$  ali  $d^3$ . V tem primeru moramo upoštevati še kemijske lastnosti elementa, katerega hibridne orbitale računamo. V primeru bora je energija orbital  $d$  previsoka, da bi lahko sodelovale pri hibridizaciji, zato pride v poštev le hibridizacija iz orbital  $s$ ,  $p_x$  in  $p_y$ .

Pri atomih višje v periodnem sistemu pa je mogoče »mešanje«: hibridne orbitale lahko zapišemo kot

$$\phi' = a\phi_{sp^2} + b\phi_{sd^2}, \quad (18)$$

kjer koeficiente  $a$  in  $b$  dobimo iz kvantnomehanskih izračunov.

## ■ Uporaba projekcijskega operatorja

S pomočjo projekcijskega operatorja lahko iz enega (dveh ali treh) vektorjev dobimo novo linearno kombinacijo vektorjev, ki ustreza natanko izbrani nerazcepni upodobitvi.

Če začasno zanemarimo normalizacijo, se projekcijski operator zapiše kot

$$P^{(\alpha)}\phi_i = \sum_{G_a \in \mathcal{G}} \chi_a^{(\alpha)} T(G_a)\phi_i, \quad (19)$$

kjer je  $P^{(\alpha)}$  projekcijski operator v upodobitvi  $\Gamma^{(\alpha)}$  in  $\chi_a^{(\alpha)}$  karakter operacije  $G_a$  v tej upodobitvi.

Če želimo projekcijski operator uporabiti na katerem koli baznem vektorju  $\phi_i$ , tabelo 3 raje prepišemo v nekoliko bolj splošno obliko, kjer za vsako vrstico znotraj vsakega razreda seštejemo elemente. S simbolom  $S$  smo označili  $S = \phi_1 + \phi_2 + \phi_3$ .

	$E$	$2C_3$	$3C_2$	$\sigma_h$	$S2_3$	$3\sigma_v$
$\phi_i$	$\phi_i$	$S - \phi_i$	$S$	$\phi_i$	$S - \phi_i$	$S$

**Tabela 6** Vsota elementov znotraj razreda za splošno vrstico  $i$  iz tabele 3.

Rezultat uporabe vseh šestih projekcijskih operatorjev  $P^\alpha$  na vektorjih  $\phi_i$  je prikazan v tabeli 7. Dobimo ga kot skalarni produkt vrstice iz tabele 6 in vrstice iz tabele karakterjev (tabela 4).

	$E$	$2C_3$	$3C_2$	$\sigma_h$	$S_3$	$\sigma_v$	vsota
$P^{(A'_1)}\phi_i$	$1\phi_i$	$1(S - \phi_i)$	$1S$	$1\phi_i$	$1(S - \phi_i)$	$1S$	$4S$
$P^{(A'_2)}\phi_i$	$1\phi_i$	$1(S - \phi_i)$	$-1S$	$1\phi_i$	$1(S - \phi_i)$	$-1S$	$0$
$P^{(E')}\phi_i$	$2\phi_i$	$-1(S - \phi_i)$	$0S$	$2\phi_i$	$-1(S - \phi_i)$	$0S$	$2(3\phi_i - S)$
$P^{(A''_1)}\phi_i$	$1\phi_i$	$1(S - \phi_i)$	$1S$	$-1\phi_i$	$-1(S - \phi_i)$	$-1S$	$0$
$P^{(A''_2)}\phi_i$	$1\phi_i$	$1(S - \phi_i)$	$-1S$	$-1\phi_i$	$-1(S - \phi_i)$	$1S$	$0$
$P^{(E')}\phi_i$	$2\phi_i$	$-1(S - \phi_i)$	$0S$	$-2\phi_i$	$1(S - \phi_i)$	$0S$	$0$

**Tabela 7** Rezultat delovanja projekcijskega operatorja  $P^{(\alpha)}$  na vektor  $\phi_i$ .

Za neničelni projekciji je

$$\begin{aligned} P^{(A'_1)}\phi_i &= 4S \quad \propto \frac{1}{\sqrt{3}}S \quad \text{in} \\ P^{(E')}\phi_i &= 2(3\phi_i - S) \propto \frac{1}{\sqrt{6}}(3\phi_i - S), \end{aligned} \quad (20)$$

za projekcijske operatorje v ostalih upodobitvah, ki niso del razcepa iz enačbe (17), pa je rezultat po pričakovanjih enak 0.

## ■ Zveza med atomskimi orbitalami in dobljenimi projekcijami

Za enodimensionalno upodobitev  $A'_1$ , ki ustreza simetriji orbitale  $s$ , je dovolj uporabiti projekcijski operator na enem samem vektorju  $P^{(A'_1)}\phi_1 = 4S = 4(\phi_1 + \phi_2 + \phi_3)$  oziroma normalizirano obliko

$$s := \psi_s = \frac{1}{\sqrt{3}}(\phi_1 + \phi_2 + \phi_3). \quad (21)$$

Atomske orbitale bomo krajše zapisovali kar s črkami  $s, p_x, p_y, \dots$

Za dvodimenzionalno upodobitev  $E'$  moramo uporabiti projekcijski operator na dveh vektorjih:

$$\begin{aligned} P^{(E')} \phi_1 &= 2(2\phi_1 - \phi_2 - \phi_3) \propto \frac{1}{\sqrt{6}} (2\phi_1 - \phi_2 - \phi_3), \\ P^{(E')} \phi_2 &= 2(2\phi_2 - \phi_1 - \phi_3) \propto \frac{1}{\sqrt{6}} (2\phi_2 - \phi_1 - \phi_3). \end{aligned} \quad (22)$$

Upodobitvi  $E'$  ustrezata orbitali  $p_x$  in  $p_y$ , rezultata sta zato linearne kombinacije obeh orbital:

$$\begin{aligned} \frac{1}{\sqrt{6}} (2\phi_1 - \phi_2 - \phi_3) &= a_1 p_x + b_1 p_y, \quad a_1^2 + b_1^2 = 1, \\ \frac{1}{\sqrt{6}} (2\phi_2 - \phi_1 - \phi_3) &= a_2 p_x + b_2 p_y, \quad a_2^2 + b_2^2 = 1. \end{aligned} \quad (23)$$

## ■ Izračun koeficientov

Koeficiente  $a_1$ ,  $a_2$ ,  $b_1$  in  $b_2$  določimo tako, da izberemo katerokoli simetrijsko operacijo, ki izraza  $(2\phi_1 - \phi_2 - \phi_3)/\sqrt{6}$  ozziroma  $(2\phi_2 - \phi_1 - \phi_3)/\sqrt{6}$  ne spremeni, in opazujemo, kam se pri tem preslikata orbitali  $p_x$  in  $p_y$ .

Zrcaljenje preko ravnine  $x = 0$  ( $\sigma'_v$ ) pusti izraz  $(2\phi_1 - \phi_2 - \phi_3)/\sqrt{6}$  nespremenjen, zato je:

$$T(\sigma'_v) \left( \frac{1}{\sqrt{6}} (2\phi_1 - \phi_2 - \phi_3) \right) = \frac{1}{\sqrt{6}} (2\phi_1 - \phi_2 - \phi_3) \text{ ozziroma} \quad (24)$$

$$T(\sigma'_v)(a_1 p_x + b_1 p_y) = a_1 p_x + b_1 p_y, \quad (25)$$

po drugi strani pa je

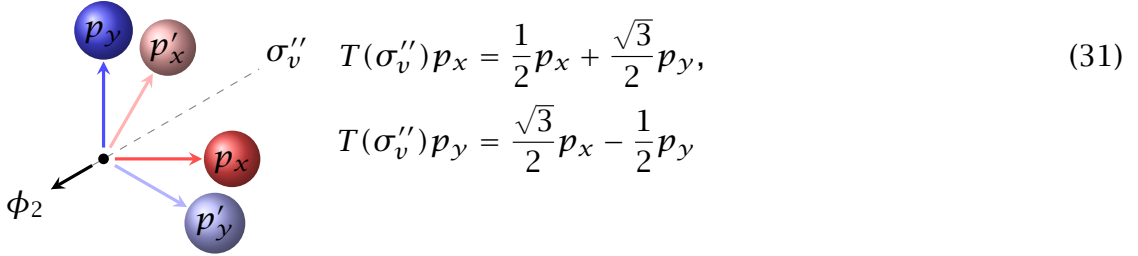
$$T(\sigma'_v)(a_1 p_x + b_1 p_y) = a_1 T(\sigma'_v)p_x + b_1 T(\sigma'_v)p_y = -a_1 p_x + b_1 p_y, \quad (26)$$

od koder sledi, da sta  $a_1 = 0$  in  $b_1 = 1$ , ozziroma je

$$p_y := \psi_{p_y} = \frac{1}{\sqrt{6}} (2\phi_1 - \phi_2 - \phi_3). \quad (27)$$

Tudi rešitev  $b_1 = -1$  ustreza enačbam (23), (25) in (26), vendar le  $b_1 = 1$  ustreza začetnemu nastavku (14). Če predpostavimo, da je valovna funkcija  $p_y$  pozitivna pri  $y > 0$  in ker imajo  $\phi_1$ ,  $-\phi_2$  in  $-\phi_3$  vse pozitivno komponento  $y$ , je izbira  $b_1 = 1$  ustreznejša.

Operator, ki ne spremeni izraza  $(2\phi_2 - \phi_1 - \phi_3)/\sqrt{6}$ , je zrcaljenje preko ravnine skozi drugi atom,  $\sigma''_v$ . Orbitali  $p_x$  in  $p_y$  transformira kot



in velja

$$T(\sigma_v'') \left( \frac{1}{\sqrt{6}} (2\phi_2 - \phi_1 - \phi_3) \right) = \frac{1}{\sqrt{6}} (2\phi_2 - \phi_1 - \phi_3) \text{ oziroma} \quad (32)$$

$$T(\sigma_v'')(a_2 p_x + b_2 p_y) = a_2 p_x + b_2 p_y, \text{ istočasno pa še}$$

$$\begin{aligned} T(\sigma_v'')(a_2 p_x + b_2 p_y) &= a_2 T(\sigma_v'')p_x + b_2 T(\sigma_v'')p_y = \\ &= \left( \frac{1}{2} a_2 + \frac{\sqrt{3}}{2} b_2 \right) p_x + \left( \frac{\sqrt{3}}{2} a_2 - \frac{1}{2} b_2 \right) p_y = \\ &= -\frac{\sqrt{3}}{2} p_x - \frac{1}{2} p_y. \end{aligned} \quad (33)$$

Torej

$$\frac{1}{\sqrt{6}} (2\phi_2 - \phi_1 - \phi_3) = -\frac{\sqrt{3}}{2} p_x - \frac{1}{2\sqrt{6}} (2\phi_1 - \phi_2 - \phi_3), \quad (34)$$

$$p_x := \psi_{p_x} = \frac{1}{\sqrt{2}} (\phi_3 - \phi_2). \quad (35)$$

Enačbam bi ustrezala tudi  $a_2 = \sqrt{3}/2$  in  $b_2 = 1/2$ , a zopet zaradi ujemanja predznakov z orbitalami izberemo negativni predznak.

Vse tri enačbe za orbitale zapišemo v matrični obliki

$$\begin{bmatrix} s \\ p_x \\ p_y \end{bmatrix} = \begin{bmatrix} \frac{1}{\sqrt{3}} & \frac{1}{\sqrt{3}} & \frac{1}{\sqrt{3}} \\ 0 & -\frac{1}{\sqrt{2}} & \frac{1}{\sqrt{2}} \\ \frac{2}{\sqrt{6}} & -\frac{1}{\sqrt{6}} & -\frac{1}{\sqrt{6}} \end{bmatrix} \begin{bmatrix} \phi_1 \\ \phi_2 \\ \phi_3 \end{bmatrix}. \quad (36)$$

Rešitev dobimo z inverzijo matrike (36), a ker je matrika ortogonalna, je njen inverz kar transponirana matrika:

$$\begin{bmatrix} \phi_1 \\ \phi_2 \\ \phi_3 \end{bmatrix} = \begin{bmatrix} \frac{1}{\sqrt{3}} & \frac{1}{\sqrt{3}} & \frac{1}{\sqrt{3}} \\ 0 & -\frac{1}{\sqrt{2}} & \frac{1}{\sqrt{2}} \\ \frac{2}{\sqrt{6}} & -\frac{1}{\sqrt{6}} & -\frac{1}{\sqrt{6}} \end{bmatrix}^{-1} \begin{bmatrix} s \\ p_x \\ p_y \end{bmatrix} = \begin{bmatrix} \frac{1}{\sqrt{3}} & 0 & \frac{2}{\sqrt{6}} \\ \frac{1}{\sqrt{3}} & -\frac{1}{\sqrt{2}} & -\frac{1}{\sqrt{6}} \\ \frac{1}{\sqrt{3}} & \frac{1}{\sqrt{2}} & -\frac{1}{\sqrt{6}} \end{bmatrix} \begin{bmatrix} s \\ p_x \\ p_y \end{bmatrix}. \quad (37)$$

## ■ Rezultat

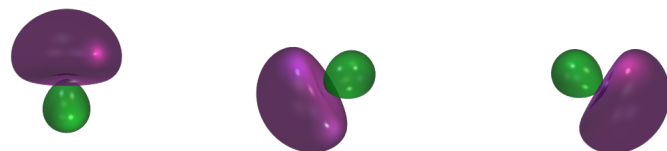
Hibridne orbitale  $sp^2$  se z atomskimi orbitalami torej izražajo kot:

$$\phi_1 = \left( \frac{1}{\sqrt{3}}s + \frac{2}{\sqrt{6}}p_y \right), \quad (38)$$

$$\phi_2 = \left( \frac{1}{\sqrt{3}}s - \frac{1}{\sqrt{2}}p_x - \frac{1}{\sqrt{6}}p_y \right) \text{ in}$$

$$\phi_3 = \left( \frac{1}{\sqrt{3}}s + \frac{1}{\sqrt{2}}p_x - \frac{1}{\sqrt{6}}p_y \right).$$

ter so za borov trihidrid (iz atomskih orbital  $2s$  in  $2p$ ) upodobljene na sliki 7.



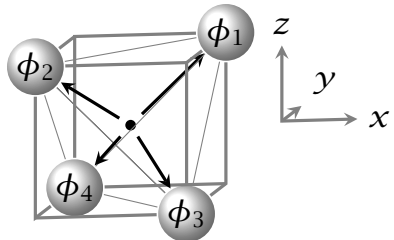
$\phi_1 \qquad \qquad \phi_2 \qquad \qquad \phi_3$

**Slika 7** Hibridne orbitale za  $\text{BH}_3$  ( $2s2p^2$ ).

## $sp^3$ – tetraedrična hibridizacija

### ■ Baza upodobitve

Tetraedrična molekula pripada simetrijski grupi  $T_d$ . Molekulo orientiramo tako, da lahko za bazo izberemo vektorje med središčem in štirimi nesosednjimi oglišči kocke (enacbe (42)), s čimer je najlaže računati.



$$\phi_1 = (-1, 1, 1) \quad (42)$$

$$\phi_2 = (1, -1, 1)$$

$$\phi_3 = (-1, -1, -1)$$

$$\phi_4 = (1, 1, -1)$$

### ■ Tabela transformacij

Vpliv štiriindvajsetih simetrijskih operacij na bazne vektorje in karakter posameznih operacij je predstavljen v tabeli 8.

	$E$	$8C_3$				$3C_2$				$6S_4$				$6\sigma$							
$\phi_1$	$\phi_1$	$\phi_1$	$\phi_4$	$\phi_3$	$\phi_2$	$\phi_4$	$\phi_3$	$\phi_2$	$\phi_3$	$\phi_4$	$\phi_2$	$\phi_4$	$\phi_3$	$\phi_4$	$\phi_3$	$\phi_1$	$\phi_2$	$\phi_1$	$\phi_3$	$\phi_1$	$\phi_4$
$\phi_2$	$\phi_2$	$\phi_3$	$\phi_4$	$\phi_2$	$\phi_4$	$\phi_1$	$\phi_1$	$\phi_1$	$\phi_4$	$\phi_3$	$\phi_1$	$\phi_3$	$\phi_1$	$\phi_4$	$\phi_3$	$\phi_4$	$\phi_2$	$\phi_4$	$\phi_2$	$\phi_3$	$\phi_2$
$\phi_3$	$\phi_3$	$\phi_4$	$\phi_2$	$\phi_1$	$\phi_4$	$\phi_3$	$\phi_3$	$\phi_2$	$\phi_1$	$\phi_1$	$\phi_2$	$\phi_4$	$\phi_4$	$\phi_2$	$\phi_1$	$\phi_2$	$\phi_4$	$\phi_3$	$\phi_1$	$\phi_2$	$\phi_3$
$\phi_4$	$\phi_4$	$\phi_2$	$\phi_3$	$\phi_3$	$\phi_1$	$\phi_1$	$\phi_2$	$\phi_4$	$\phi_2$	$\phi_1$	$\phi_3$	$\phi_1$	$\phi_3$	$\phi_2$	$\phi_1$	$\phi_3$	$\phi_4$	$\phi_2$	$\phi_4$	$\phi_1$	$\phi_1$
$\chi^{\text{hib}}$	4	1				0				0				0				2			

**Tabela 8** V tabeli so uporabljeni simetrijski operacije

(E)  $(C'_3, C'^2_3, C''_3, C'''_3, C''''_3, C''''''_3)$  ( $C_{2x}, C_{2y}, C_{2z}$ )  
 $(S_4(x), S^3_{4x}, S^3_{4y}, S^3_{4y}, S^3_{4z}, S^3_{4z})$  ( $\sigma_{12}, \sigma_{34}, \sigma_{13}, \sigma_{24}, \sigma_{14}, \sigma_{23}$ ), kjer je  
 $C_3^{(i)}$  vrtenje okrog vektorja  $\phi_i$  za  $120^\circ$ ,  $C_3^{(i)2}$  pa vretenje za  
 $240^\circ$  okrog istega vektorja. Operacija  $C_{2i}$  vrta okrog koordinatne  
osi  $i$  za kot  $180^\circ$ , operacije  $S_{4i}$  in  $S_{4i}^3$  prav tako vrtijo z zrcaljenjem  
okrog osi  $i$  za kot  $90$  oziroma  $270^\circ$ ,  $\sigma_{ij}$  pa zrcali čez ravino, ki jo  
napenjata vektorja  $\phi_i$  in  $\phi_j$  (skozi koordinatno izhodišče).

## ■ Razcep na nerazcepne upodobitve

$T_d$	$E$	$8C_3$	$3C_2$	$6S_4$	$6\sigma_d$		
$A_1$	1	1	1	1	1		$x^2 + y^2 + z^2$
$A_2$	1	1	1	-1	-1		
$E$	2	-1	2	0	0		$(2z^2 - x^2 - y^2, x^2 - y^2)$
$T_1$	3	0	-1	1	1	$(R_x, R_y, R_z)$	
$T_2$	3	0	-1	-1	-1	$(x, y, z)$	$(xy, xz, yz)$

**Tabela 9** Tabela karakterjev za  $T_d$

Z uporabo tabele karakterjev za  $T_d$  (tabela 9) po enakem postopku razcepimo upodobitev v

$$\Gamma^{\text{hib}} = \Gamma^{A_1} \oplus \Gamma^{T_2}. \quad (43)$$

## ■ Določitev primernih orbital

Iz zadnjih dveh stolpcev tabele 9 odčitamo, katere orbitale v ustrezeni upodobitvi lahko uporabimo za tvorbo hibridnih orbital.

upodobitev	$\Gamma^{A_1}$	$\Gamma^{T_2}$
orbitale $s$	$s$	
$p$		$(p_x, p_y, p_z)$
$d$		$(d_{xy}, d_{xz}, d_{yz})$

**Tabela 10** Orbitale centralnega atoma, primerne za tvorbo hibridnih orbital v tetraedričnih molekulah.

V atomu ogljika je edina možna izbira orbitala  $2s$  in vse tri orbitale  $2p$ . Orbitale  $d$  ležijo energijsko previsoko, vendar je hibridizacija  $sd^3$  mogoča pri atomih v višjih periodah periodnega sistema.

## ■ Uporaba projekcijskega operatorja

Tabelo 8 lahko povzamemo s tabelo 11, s čimer olajšamo nadaljnje računanje.

	$E$	$8C_3$	$3C_2$	$6S_4$	$6\sigma$
$\phi_i$	$\phi_i$	$2S$	$S - \phi_i$	$2(S - \phi_i)$	$S + 2\phi_i$

**Tabela 11** Povzetek tabele 8, kjer smo s  $S$  označili vsoto  $S = \phi_1 + \phi_2 + \phi_3 + \phi_4$ .

Uporaba projekcijskega operatorja (19) da:

$$\begin{aligned} P^{(A_1)}\phi_i &= 6S \propto \frac{1}{2}S, \\ P^{(T_2)}\phi_i &= 2(4\phi_i - S) \propto \frac{1}{\sqrt{12}}(4\phi_i - S). \end{aligned} \quad (44)$$

### ■ Zveza med atomskimi orbitalami in dobljenimi projekcijami

Enodimensionalna upodobitev  $A_1$  ustreza simetriji orbitale  $s$ . Projekcijski operator lahko uporabimo na kateremkoli vektorju in dobimo, da je

$$s = \frac{1}{2}(\phi_1 + \phi_2 + \phi_3 + \phi_4). \quad (45)$$

Za trodimensionalno upodobitev  $T_2$  moramo projekcijski operator uporabiti na treh vektorjih:

$$\begin{aligned} P^{(T_2)}\phi_1 &\propto \frac{1}{\sqrt{12}}(3\phi_1 - \phi_2 - \phi_3 - \phi_4) = a_1 p_x + b_1 p_y + c_1 p_z, \\ P^{(T_2)}\phi_2 &\propto \frac{1}{\sqrt{12}}(3\phi_2 - \phi_3 - \phi_4 - \phi_1) = a_2 p_x + b_2 p_y + c_2 p_z \text{ in} \\ P^{(T_2)}\phi_3 &\propto \frac{1}{\sqrt{12}}(3\phi_3 - \phi_4 - \phi_1 - \phi_2) = a_3 p_x + b_3 p_y + c_3 p_z. \end{aligned} \quad (46)$$

### ■ Izračun koeficientov

Koeficiente  $a_i$ ,  $b_i$ ,  $c_i$  dobimo tako, da poleg upoštevanja normalizacije preverimo, kam denimo vrtenje  $C'_3$  za  $120^\circ$  okrog vektorja  $\phi_1$ , ki izraza  $(3\phi_1 - \phi_2 - \phi_3 - \phi_4)$  ne spremeni, preslika orbitale  $p_{\{x,y,z\}}$ . Od tod dobimo, da je  $a_1 = b_1 = c_1 = 1/\sqrt{3}$ . Za določitev ostalih koeficientov si ogledamo še vrtenji  $C''_3$  in  $C'''_3$  okrog vektorjev  $\phi_2$  in  $\phi_3$ .

## ■ Rezultat

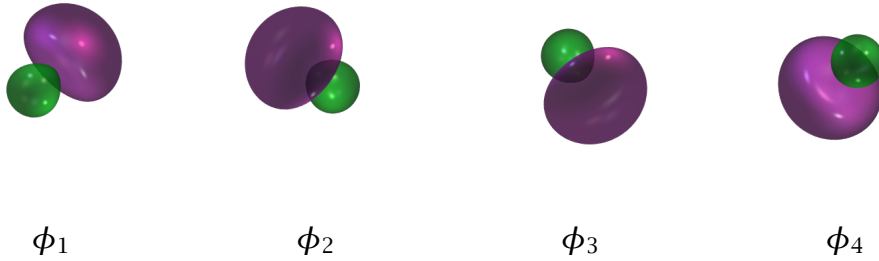
Z reševanjem sistema po enakem postopku kot za  $sp^2$  dobimo končno rešitev za hibridne orbitale  $sp^3$ :

$$\phi_1 = \frac{1}{2} (s + p_x + p_y + p_z), \quad (47)$$

$$\phi_2 = \frac{1}{2} (s - p_x - p_y + p_z),$$

$$\phi_3 = \frac{1}{2} (s + p_x - p_y - p_z),$$

$$\phi_4 = \frac{1}{2} (s - p_x + p_y - p_z).$$

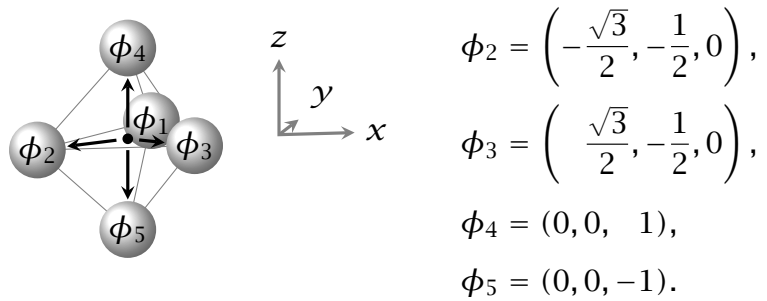


**Slika 8** Hibridne orbitale za  $\text{CH}_4$  ( $2s2p^3$ ).

## $sp^3d$ - trigonalno bipiramidalna hibridizacija

### ■ Baza upodobitve

Trigonalno bipiramidalna molekula - podobno kot trikotna - pripada točkovni skupini  $D_{3h}$ . Za bazo vzamemo naslednje vektorje:



### ■ Tabela transformacij

Transformacije vektorjev so prav tako zelo podobne tistim iz hibridizacije  $sp^2$ . Ker se prvi trije vektorji ne mešajo s preostalima dvema, lahko obravnavamo tudi vsako skupino posebej. Z znakom za vzporedno bomo tako označili vektorje v ravnini  $z = 0$  in z znakom za pravokotno preostala dva.

	$E$	$2C_3$		$3C_2$			$\sigma_h$	$S_3$		$\sigma_v$		
$\phi_1$	$\phi_1$	$\phi_2$	$\phi_3$	$\phi_1$	$\phi_3$	$\phi_2$	$\phi_1$	$\phi_2$	$\phi_3$	$\phi_1$	$\phi_3$	$\phi_2$
$\phi_2$	$\phi_2$	$\phi_3$	$\phi_1$	$\phi_3$	$\phi_2$	$\phi_1$	$\phi_2$	$\phi_3$	$\phi_1$	$\phi_3$	$\phi_2$	$\phi_1$
$\phi_3$	$\phi_3$	$\phi_1$	$\phi_2$	$\phi_2$	$\phi_1$	$\phi_3$	$\phi_3$	$\phi_1$	$\phi_2$	$\phi_2$	$\phi_1$	$\phi_3$
$\phi_4$	$\phi_4$	$\phi_4$	$\phi_4$	$\phi_5$	$\phi_5$	$\phi_5$	$\phi_5$	$\phi_5$	$\phi_5$	$\phi_4$	$\phi_4$	$\phi_4$
$\phi_5$	$\phi_5$	$\phi_5$	$\phi_5$	$\phi_4$	$\phi_4$	$\phi_4$	$\phi_4$	$\phi_4$	$\phi_4$	$\phi_5$	$\phi_5$	$\phi_5$
$\chi_{  }^{\text{hib}}$	3	0		1			3	0		1		
$\chi_{\perp}^{\text{hib}}$	2	2		0			0	0		2		
$\chi^{\text{hib}}$	5	2		1			3	0		3		

**Tabela 12** Rezultat delovanja simetrijskih operacij na posamezne vektorje. Oznake so enake kot v tabeli 3. Ker se prvi trije vektorji ne mešajo s preostalima dvema, ju lahko obravnavamo ločeno.

## ■ Razcep na nerazcepne upodobitve

S pomočjo tabele 4 obe upodobitvi razcepimo na:

$$\begin{aligned}\Gamma^{\text{hib}} &= 2\Gamma^{A'_1} \oplus \Gamma^{E'} \oplus \Gamma^{A''_2}, \\ \Gamma_{\parallel}^{\text{hib}} &= \Gamma^{A'_1} \oplus \Gamma^{E'}, \\ \Gamma_{\perp}^{\text{hib}} &= \Gamma^{A'_1} \oplus \Gamma^{A''_2}.\end{aligned}\quad (52)$$

## ■ Določitev primernih orbital

Orbitale, ki ustrezano dobljenim upodobitvam, so navedene v tabeli 13. Pri tem orbitali  $s$ ,  $p_x$  in  $p_y$  porabimo za konstrukcijo treh orbital v ravnini, orbitali  $p_z$  in  $p_{z^2}$  pa za preostali hibridni orbitali izven ravnine.

upodobitev	$\Gamma^{A'_1}$	$\Gamma^{E'}$	$\Gamma^{A''_2}$
orbitale $s$	$s$		
$p$		$(p_x, p_y)$	$p_z$
$d$	$d_{z^2}$	$(d_{x^2-y^2}, d_{xy})$	

**Tabela 13** Atomske orbitale, primerne za tvorbo hibridnih orbital v trigonalno bipiramidalnih molekulah.

## ■ Uporaba projekcijskega operatorja

V tabeli 14 smo povzeli transformacijsko tabelo, pri čemer smo uporabili oznake  $i \in \{1, 2, 3\}$ ,  $j \in \{4, 5\}$ ,  $S = \phi_1 + \phi_2 + \phi_3$ , s  $\phi'_j$  pa smo označili eno od obeh orbital izven ravnine, ki ni enaka  $\phi_j$ .

	$E$	$2C_3$	$3C_2$	$\sigma_h$	$S_3$	$\sigma_v$
$\phi_i$	$\phi_i$	$S - \phi_i$	$S$	$\phi_i$	$S - \phi_i$	$S$
$\phi_j$	$\phi_j$	$2\phi_j$	$3\phi'_j$	$\phi'_j$	$2\phi'_j$	$3\phi_j$

**Tabela 14** Povzetek tabele 12.

Od tod izračunamo delovanje projekcijskih operatorjev na bazne vektorje (enačba (19)).

$$\begin{aligned}
P^{(A'_1)} \phi_i &= 4S \propto \frac{1}{\sqrt{3}} S, \\
P^{(E')} \phi_i &= 2(3\phi_i - S) \propto \frac{1}{\sqrt{6}} (3\phi_i - S), \\
P^{(A'_1)} \phi_j &= 6(\phi_j + \phi'_j) \propto \frac{1}{\sqrt{2}} (\phi_j + \phi'_j), \\
P^{(A''_2)} \phi_j &= 6(\phi_j - \phi'_j) \propto \frac{1}{\sqrt{2}} (\phi_j - \phi'_j).
\end{aligned} \tag{53}$$

## ■ Zveza med atomskimi orbitalami in dobljenimi projekcijami

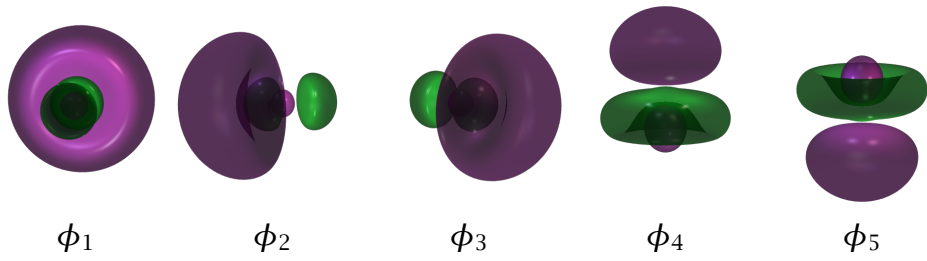
Prve tri hibridne orbitale se izražajo enako kot v primeru hibridizacije  $sp^2$ , preostali dve pa sta linearne kombinacije orbital  $p_z$  in  $d_{z^2}$ . S pomočjo zrcaljenja preko  $z = 0$  izračunamo ali kar uganemo ( $d_{z^2}$  mora biti simetrična,  $p_z$  pa antisimetrična glede na  $\sigma_h$ ), da mora veljati:

$$p_z = \frac{1}{\sqrt{2}} (\phi_4 - \phi_5) \text{ in} \tag{54}$$

$$d_{z^2} = \frac{1}{\sqrt{2}} (\phi_4 + \phi_5). \tag{55}$$

## ■ Rezultat

$$\begin{aligned}\phi_1 &= \left( \frac{1}{\sqrt{3}}s + \frac{2}{\sqrt{6}}p_y \right), \\ \phi_2 &= \left( \frac{1}{\sqrt{3}}s - \frac{1}{\sqrt{2}}p_x + \frac{2}{\sqrt{6}}p_y \right), \\ \phi_3 &= \left( \frac{1}{\sqrt{3}}s + \frac{1}{\sqrt{2}}p_x + \frac{2}{\sqrt{6}}p_y \right), \\ \phi_4 &= \left( + \frac{1}{\sqrt{2}}p_z + \frac{1}{\sqrt{2}}d_{z^2} \right), \\ \phi_5 &= \left( - \frac{1}{\sqrt{2}}p_z + \frac{1}{\sqrt{2}}d_{z^2} \right).\end{aligned}\quad (56)$$

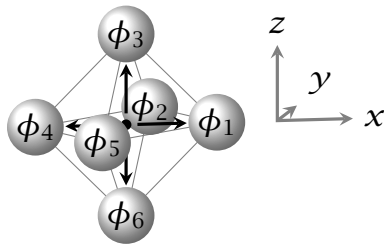


**Slika 9** Hibridne orbitale za  $\text{PF}_5$  ( $3s3p^33d$ ).

## $sp^3d^2$ - oktaedrična hibridizacija

### ■ Baza upodobitve

Oktaedrična molekula pripada simetrijski grupi  $O_h$ . Izberemo si naslednje bazne vektorje:



$$\begin{aligned}\phi_1 &= (1, 0, 0), \\ \phi_2 &= (0, 1, 0), \\ \phi_3 &= (0, 0, 1), \\ \phi_4 &= (-1, 0, 0), \\ \phi_5 &= (0, -1, 0), \\ \phi_6 &= (0, 0, -1).\end{aligned}\quad (60)$$

### ■ Karakter transformacij

Namesto celotne tabele transformacij (ki jo sicer moramo izračunati, če želimo uporabiti projekcijski operator) zapišimo le karakterje posameznih geometrijskih operacij:

	$E$	$8C_3$	$6C_2$	$6C_4$	$3C_2$	$i$	$8S_6$	$6S_4$	$6\sigma_d$	$3\sigma_h$
$\chi^{\text{hib}}$	6	0	0	2	2	0	0	0	0	4

**Tabela 15** Karakterji simetrijskih operacij iz grupe  $O_h$  v izbrani bazi.

## ■ Razcep na nerazcepne upodobitve

$O_h$	$E$	$8C_3$	$6C_2$	$6C_4$	$3C_2$	$i$	$8S_6$	$6S_4$	$6\sigma_d$	$3\sigma_h$
$A_{1g}$	1	1	1	1	1	1	1	1	1	1
$A_{2g}$	1	1	-1	-1	1	1	1	-1	-1	1
$E_g$	2	-1	0	0	2	2	-1	0	0	2
$T_{1g}$	3	0	-1	1	-1	3	0	1	-1	-1
$T_{2g}$	3	0	1	-1	-1	3	0	-1	1	-1
$A_{1u}$	1	1	1	1	1	-1	-1	-1	-1	-1
$A_{2u}$	1	1	-1	-1	1	-1	-1	1	1	-1
$E_u$	2	-1	0	0	2	-2	1	0	0	-2
$T_{1u}$	3	0	-1	1	-1	-3	0	-1	1	1
$T_{2u}$	3	0	1	-1	-1	-3	0	1	-1	1

**Tabela 16** Tabela karakterjev za  $O_h$ .

Z uporabo tabele karakterjev za grupo  $O_h$  (tabela 16) in enačbe (15) upodobitev razcepimo na

$$\Gamma^{\text{hib}} = \Gamma^{A_{1g}} \oplus \Gamma^{E_g} \oplus \Gamma^{T_{1u}}. \quad (61)$$

## ■ Določitev primernih orbital

V tabelah karakterjev so za dobljene upodobitve navedene naslednje atomske orbitale:

upodobitev	$\Gamma^{A_{1g}}$	$\Gamma^{E_g}$	$\Gamma^{T_{1u}}$
orbitale $s$	$s$		
$p$			$(p_x, p_y, p_z)$
$d$		$(d_{z^2}, d_{x^2-y^2})$	

**Tabela 17** Atomske orbitale, primerne za tvorbo hibridnih orbital v oktaedričnih molekulah.

Za tvorbo hibridnih orbital v oktaedrični molekuli potrebujemo šest atomskih orbital, torej moramo uporabiti vse od naštetih.

## ■ Uporaba projekcijskega operatorja

Matrike za delovanje simetrijskih operacij na posamezne elemente nismo zapisali, vseeno pa zapišimo povzetek – vsoto vseh elementov, ki jih dobimo kot rezultat delovanja simetrijskih elementov nekega razreda na vektor  $\phi_i$ .

	$E$	$8C_3$	$6C_2$	$6C_4$	$3C_2$
$\phi_i$	$\phi_i$	$2(S - \phi_i - \phi'_i)$	$S - \phi_i + \phi'_i$	$S + \phi_i - \phi'_i$	$\phi_i + 2\phi'_i$
	$i$	$8S_6$	$6S_4$	$6\sigma_d$	$3\sigma_h$
	$\phi'_i$	$2(S - \phi_i - \phi'_i)$	$S - \phi_i + \phi'_i$	$S + \phi_i - \phi'_i$	$2\phi_i + \phi'_i$

**Tabela 18** Povzetek tabele simetrijskih operacij. Oznaka  $S$  pomeni vsoto  $\phi_1 + \phi_2 + \phi_3 + \phi_4 + \phi_5 + \phi_6$ , medtem ko smo s  $\phi'_i$  označili  $\phi_{(i+3) \bmod 6}$  oziroma » $-\phi_i$ «. Tretja in četrta vrstica sta zgolj nadaljevanje prvih dveh.

Rezultati projekcij, dobljenih iz skalarnega produkta vrstic v tabelah 16 in 18, je naslednji:

$$\begin{aligned} P^{(A_{1g})}\phi_i &= 8\phi_i &\propto \frac{1}{\sqrt{6}}S, \\ P^{(E_g)}\phi_i &= 4(3\phi_i + 3\phi'_i - S) \propto \frac{1}{\sqrt{12}}(3\phi_i + 3\phi'_i - S), \\ P^{(T_{1u})}\phi_i &= 8(\phi_i - \phi'_i) \propto \frac{1}{\sqrt{2}}(\phi_i - \phi'_i). \end{aligned} \quad (62)$$

## ■ Zveza med atomskimi orbitalami in dobljenimi projekcijami

Enodimensionalna upodobitev ustreza kar orbitali  $s$ :

$$P^{(A_{1g})}\phi_1 \propto \frac{1}{\sqrt{6}}(\phi_1 + \phi_2 + \phi_3 + \phi_4 + \phi_5 + \phi_6) = s. \quad (63)$$

Projekcijski operator v tridimensionalni upodobitvi moramo uporabiti na treh vektorjih. Rezultat zlahka pripišemo trem orbitalam  $p$ :

$$\begin{aligned} P^{(T_{1u})}\phi_1 &\propto \frac{1}{\sqrt{2}}(\phi_1 - \phi_4) = p_x, \\ P^{(T_{1u})}\phi_2 &\propto \frac{1}{\sqrt{2}}(\phi_2 - \phi_5) = p_y, \\ P^{(T_{1u})}\phi_3 &\propto \frac{1}{\sqrt{2}}(\phi_3 - \phi_6) = p_z. \end{aligned} \quad (64)$$

Z nekaj računanja hitro pridemo do zaključka, da z delovanjem projekcijskega operatorja iz dvodimensionalne upodobitve na tretjem vektorju dobimo rezultat, ki ustreza simetrijskim lastnostim orbitale  $d_{z^2}$ :

$$P^{(E_g)} \phi_3 \propto \frac{1}{\sqrt{12}} (2\phi_3 - \phi_1 - \phi_2 + 2\phi_6 - \phi_4 - \phi_5) = d_{z^2}, \quad (65)$$

nakar potrebujemo le še zadnji linearne neodvisen vektor. Če s projekcijskim operatorem delujemo na  $\phi_1$  in  $\phi_2$ :

$$P^{(E_g)} \phi_1 \propto \frac{1}{\sqrt{12}} (2\phi_1 - \phi_2 - \phi_3 + 2\phi_4 - \phi_5 - \phi_6), \quad (66)$$

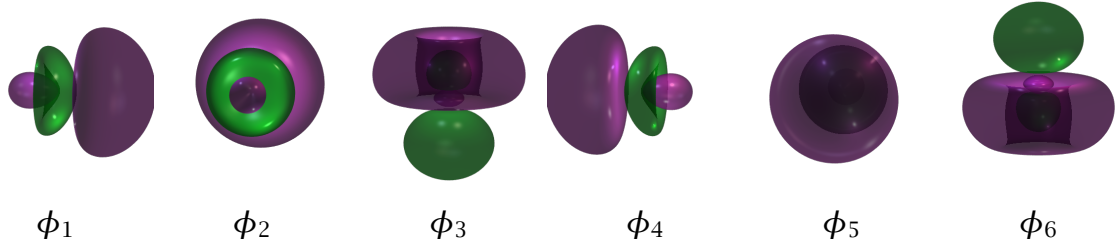
$$P^{(E_g)} \phi_2 \propto \frac{1}{\sqrt{12}} (2\phi_2 - \phi_3 - \phi_1 + 2\phi_5 - \phi_6 - \phi_4), \quad (67)$$

in rezultat odštejemo ter normiramo, dobimo še zadnjo orbitalo:

$$d_{x^2-y^2} = \frac{1}{2} (\phi_1 - \phi_2 + \phi_4 - \phi_5). \quad (68)$$

## ■ Rezultat

$$\begin{aligned} \phi_1 &= \left( \frac{1}{\sqrt{6}}s + \frac{1}{\sqrt{2}}p_x \quad \quad \quad - \frac{1}{\sqrt{12}}d_{z^2} \quad \frac{1}{2}d_{x^2-y^2} \right), \\ \phi_2 &= \left( \frac{1}{\sqrt{6}}s \quad \quad \quad + \frac{1}{\sqrt{2}}p_y \quad \quad \quad - \frac{1}{\sqrt{12}}d_{z^2} - \frac{1}{2}d_{x^2-y^2} \right), \\ \phi_3 &= \left( \frac{1}{\sqrt{6}}s \quad \quad \quad + \frac{1}{\sqrt{2}}p_z \quad \quad \quad \frac{1}{\sqrt{3}}d_{z^2} \quad \quad \quad \right), \\ \phi_4 &= \left( \frac{1}{\sqrt{6}}s - \frac{1}{\sqrt{2}}p_x \quad \quad \quad - \frac{1}{\sqrt{12}}d_{z^2} \quad \frac{1}{2}d_{x^2-y^2} \right), \\ \phi_5 &= \left( \frac{1}{\sqrt{6}}s \quad \quad \quad - \frac{1}{\sqrt{2}}p_y \quad \quad \quad - \frac{1}{\sqrt{12}}d_{z^2} - \frac{1}{2}d_{x^2-y^2} \right), \\ \phi_6 &= \left( \frac{1}{\sqrt{6}}s \quad \quad \quad - \frac{1}{\sqrt{2}}p_z \quad \quad \quad \frac{1}{\sqrt{3}}d_{z^2} \quad \quad \quad \right). \end{aligned} \quad (69)$$



**Slika 10** Hibridne orbitale za SF<sub>6</sub> (3s3p<sup>3</sup>3d<sup>2</sup>).

Opazimo, da so orbitale  $\phi_1$ ,  $\phi_2$ ,  $\phi_4$  in  $\phi_5$  enake,  $\phi_3$  in  $\phi_6$  pa se razlikujeta, kar »podre« našo predpostavko, da mora biti vseh šest hibridnih orbital enakovrednih. Metoda torej dobro deluje za hibridizacije  $sp$ ,  $sp^2$  in  $sp^3$ , pri hibridizacijah  $sp^3d$  in  $sp^3d^2$  pa nagaja oblika orbital  $d$ , kjer predpostavimo obstoj »preferenčne smeri«  $z$ . Medtem ko lahko iz orbital  $p$  sestavimo linearne kombinacije, ki so neodvisne od osnovne orientacije molekule, bi pri trigonalno bipiramidalni in oktaedrični molekuli

dobili drugačno obliko hibridnih orbital, če bi na začetku izbrali drugačno orientacijo molekule. Pri hibridizaciji  $sp^3d$  se sicer lahko izgovarjamo na to, da sta orbitali v smeri  $z$  dejansko drugačni, pri oktaedrični molekulih pa bi morali izhajati iz drugačnih »orbital  $d$ «.

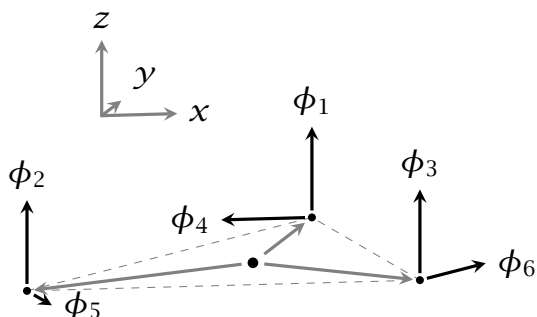
### 3.3. Hibridne orbitale z vezmi $\pi$

Postopek računanja hibridnih orbital z vezmi  $\pi$  je enak kot za orbitale z enojnimi vezmi, le da potrebujemo novo bazo. Za vezi  $\pi$  namreč ni pomembna le njihova lega, temveč tudi orientacija, zato jih predstavimo z vektorji, pravokotnimi na vozelo ravno vezi, ki naj kažejo od negativne proti pozitivni strani valovne funkcije. Na mestu vsake vezi potrebujemo dva medsebojno pravokotna vektorja (pravokotna tudi na enojno vez), po enega za vsako vez  $\pi$ .

#### Primer trikotne molekule

##### ■ Baza upodobitve

V primeru molekule  $BCl_3$  (slika 11) so tri vezi v ravnini (»in plane«) in tri izven ravnine (»out of plane«) ter se pri simetrijskih operacijah ne mešajo med seboj, zato lahko obravnavamo vsako skupino posebej (česar ne moremo vedno narediti pri ostalih geometrijah).



**Slika 11** Baza upodobitve za hibridne orbitale  $\pi$  v trikotni molekuli.

Za uspešno tvorbo vezi  $\pi$  mora orientacija šestih izbranih vektorjev ustrezati orientaciji pripadajočih orbital v sosednjih (klorovih) atomih.

## ■ Tabela transformacij

	$E$	$C_3$	$C'_2$	$\sigma_h$	$S_3$	$\sigma'_v$
$\phi_1$	$\phi_1$	$\phi_2$	$-\phi_1$	$-\phi_1$	$-\phi_2$	$\phi_1$
$\phi_2$	$\phi_2$	$\phi_3$	$-\phi_3$	$-\phi_2$	$-\phi_3$	$\phi_3$
$\phi_3$	$\phi_3$	$\phi_1$	$-\phi_2$	$-\phi_3$	$-\phi_1$	$\phi_2$
$\chi_{\perp}$	3	0	-1	-3	0	1
$\phi_4$	$\phi_4$	$\phi_5$	$-\phi_4$	$\phi_4$	$\phi_5$	$-\phi_4$
$\phi_5$	$\phi_5$	$\phi_6$	$-\phi_6$	$\phi_5$	$\phi_6$	$-\phi_6$
$\phi_6$	$\phi_6$	$\phi_4$	$-\phi_5$	$\phi_6$	$\phi_4$	$-\phi_5$
$\chi_{\parallel}$	3	0	-1	3	0	-1

**Tabela 19** V levem stolpcu je začetni vektor, v osrednjem delu tabele pa vektor, v katerega se preslika po simetrijski operaciji iz prve vrstice.

## ■ Razcep na nerazcepne upodobitve

Iz karakterjev posameznih upodobitev

$D_{3h}$	$E$	$2C_3$	$3C_2$	$\sigma_h$	$2S_3$	$3\sigma_v$
$\Gamma_{\perp}^{\text{hib}}$	3	0	-1	-3	0	1
$\Gamma_{\parallel}^{\text{hib}}$	3	0	-1	3	0	-1

**Tabela 20** Karakterji za izbrani upodobitvi

in s tabelo karakterjev (tabela 4) dobimo razcep:

$$\begin{aligned}\Gamma_{\perp}^{\text{hib}} &= A''_2 \oplus E'' \\ \Gamma_{\parallel}^{\text{hib}} &= A'_2 \oplus E'.\end{aligned}\tag{70}$$

## ■ Določitev primernih orbital

Iz tabele karakterjev odčitamo, da za vezi *izven ravnine* upodobitvi  $A''_2$  ustreza orbitala  $p_z$ , upodobitvi  $E''$  pa degenerirani orbitali ( $d_{xz}, d_{yz}$ ).

Atom bora nima energijsko dostopnih orbital  $d$ , lahko pa samo z orbitalo  $p_z$  tvori eno samo vez  $\pi$ , ki se enakomerno porazdeli v vseh treh smereh. (V resnici je vez med

borom in halidom krajša od dolžine, ki bi jo pričakovali pri enojni vezi, kar pomeni, da ima vez med atomi vsaj delno značaj dvojne vezi.)

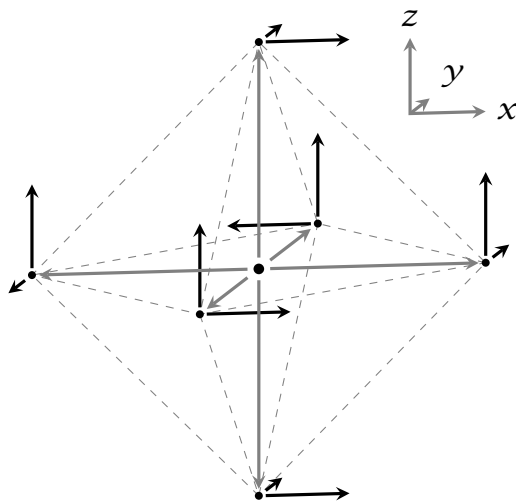
Atomi višje v periodnem sistemu pa lahko izven ravnine tvorijo hibridizacijo  $pd^2$  iz orbital  $p_z$ ,  $d_{xz}$  in  $d_{yz}$ .

Za vezi v *molekulski ravnini* upodobitvi  $A'_2$  ne ustreza nobena orbitala, medtem ko za upodobitev  $E'$  najdemo dva degenerirana para orbital:  $(p_x, p_y)$  in  $(d_{x^2-y^2}, d_{xy})$ . Za atom bora je energija orbital  $d$  prav tako previsoko, orbitali  $p_x$  in  $p_y$  pa že sodelujeta pri tvorbi vezi  $\sigma$ . Pri ostalih atomih tretje skupine pa lahko orbitali  $d_{x^2-y^2}$  in  $d_{xy}$  tvorita dve vezi  $\pi$  v ravnini, ki se enakomerno razporedita v vse tri smeri.

## Primer oktaedrične molekule

### ■ Baza upodobitve

Pri oktaedrični geometriji potrebujemo dvanajst osnovnih vektorjev za upodobitev vezi  $\pi$  (slika 12).



Slika 12 Osnovni vektorji za upodobitev vezi  $\pi$  v oktaedrični molekuli.

### ■ Razcep upodobitve

V tem primeru ne moremo ločeno obravnavati vezi  $\pi$  v ravnini in izven ravnine, saj se vseh dvanajst vektorjev meša med seboj. Iz karakterjev upodobitve (tabela 21)

$O_h$	$E$	$8C_3$	$6C_2$	$6C_4$	$3C_2$	$i$	$6S_4$	$8S_6$	$3\sigma_h$	$6\sigma_d$
$\chi^{\text{hib}}$	12	0	0	0	-4	0	0	0	0	0

**Tabela 21**

in tabele karakterjev lahko upodobitev razcepimo na:

$$\Gamma^{\text{hib}} = \Gamma^{T_{1g}} \oplus \Gamma^{T_{2g}} \oplus \Gamma^{T_{1u}} \oplus \Gamma^{T_{2u}}. \quad (71)$$

### ■ Določitev primernih orbital

Orbitale, ki ustrezajo dobljenim neracepnim upodobitvam, so navedene v tabeli 22.

upodobitev	$\Gamma^{T_{1g}}$	$\Gamma^{T_{2g}}$	$\Gamma^{T_{1u}}$	$\Gamma^{T_{2u}}$
orbitale $p$			$(p_x, p_y, p_z)$	
$d$		$(d_{xy}, d_{xz}, d_{yz})$		

**Tabela 22**

Ker so bile orbitale  $p$  najverjetneje uporabljene že za tvorbo vezi  $\sigma$ , ostanejo za tvorbo vezi  $\pi$  le še tri orbitale  $d$ , ki se enakomerno porazdelijo v vseh šest smeri.

## Zaključek

V seminarju smo se naučili, kako zgolj na osnovi simetrije in brez uporabe kvantne mehanike hibridne orbitale lahko zapišemo kot linearno kombinacijo atomski orbital, katerih obliko že poznamo. Izračunali in narisali smo oblike vse petih tipov hibridizacij, ki tvorijo vezi sigma ter opisali dva primera z vezmi pi. Pri hibridizacijah s petimi in šestimi sosedji žal nismo mogli dobiti povsem enakovrednih orbital, nepričakovano pa smo izvedeli, da je tudi v molekuli  $\text{BF}_3$  prisoten karakter dvojne vezi.

Za natančnejši opis stanja elektronov v izbrani molekuli bi morali namesto hibridnih uporabljati molekulske orbitale, vendar že hibridne orbitale zadovoljivo opišejo in razložijo geometrijo širokega spektra molekul in so kot take uporabno matematično orodje v kemiji.

## Literatura

- [1] Prasad R. K. *Quantum chemistry*. New Age Science, Tunbridge Wells, 4th edition, 2009.
- [2] Willock David J. *Molecular symmetry*. J. Wiley & Sons, Chichester, 2009.
- [3] Bishop David M. *Group theory and chemistry*. Dover Publications, New York, 1993.
- [4] Kim Shoon Kyung. *Group theoretical methods and applications to molecules and crystals*. Cambridge University Press, Cambridge, 1999.
- [5] Vincent Alan. *Molecular symmetry and group theory: a programmed introduction to chemical applications*. J. Wiley & Sons, Chichester [etc.], 2nd edition, 2001.
- [6] Kettle Sidney Francis Alan. *Symmetry and structure: readable group theory for chemists*. John Wiley & Sons, Chichester, 3rd edition, 2007.
- [7] URL slike: <http://knol.google.com/k/-/-/rxnelfajlojs/htmij7/localizedmo-ethylene.jpg>
- [8] URL slike: <http://www.d.umn.edu/%7Epkiprof/ChemWebV2/Overlap/images/sigma-dz2.jpg>
- [9] URL slike: <http://iverson.cm.utexas.edu/courses/310M/Handouts/Handoutsfl05/Pibonds.html>
- [10] URL slike: <http://commons.wikimedia.org/wiki/File:D-d-pi-MO-solid-3D-balls.png>
- [11] URL slike: <http://commons.wikimedia.org/wiki/File:Dimolybdenum-Mo2-delta-bond-Spartan-HF-3-21G-3D-side.png>
- [12] URL slike: <http://www.ch.ic.ac.uk/rzepa/blog/?p=580&cpage=1>

Skice so bile narejene s paketom makrojev za TeX - pgf/TikZ, 3D predstavitev atomskih in hibridnih orbital pa naračunane in izrisane s programom PovRay iz vodikovih oziroma linearne kombinacije vodikovih orbital, z rezom pri konstantni absolutni vrednosti valovne funkcije.

# Prilog

## Mullikenovi simboli za nerazcepne upodobitve

$A$	nedegenerirana orbitala, simetrična glede na glavno os $C_n$
$B$	nedegenerirana orbitala, antisimetrična glede na glavno os $C_n$
$E$	dvojno degenerirana orbitala (de. <i>entartet</i> )
$T$	trojno degenerirana orbitala
$\square_g$	simetrično glede na središče inverzije (de. <i>gerade</i> )
$\square_u$	antisimetrično glede na središče inverzije (de. <i>ungerade</i> )
$\square_1$	simetrično glede na $C_2$ (pravokotno na $C_n$ )
$\square_2$	antisimetrično glede na $C_2$ (pravokotno na $C_n$ )
$\square'$	simetrično glede na $\sigma_h$
$\square''$	antisimetrično glede na $\sigma_h$

